

## بررسی کیفیت ماسکهای یکبار مصرف در راستای تدوین استاندارد آنها

اصغر صدیق زاده و عبدالی ارمکی  
مرکز تحقیقات استانداردهای هسته‌ای  
سازمان انرژی اتمی ایران

### چکیده

در این تحقیق کیفیت <sup>۴</sup> نوع ماسک یکبار مصرف، از هر نوع به تعداد <sup>۳</sup> عدد مورد بررسی قرار گرفت. دو نوع از آنها ساخت خارج و دو نوع دیگر ساخت داخل کشور است. میزان جریان گاز حامل ذرات گذرنده از ماسک‌ها در گستره  $15-120 \text{ l/min}$  قرار داشت که به ترتیب مربوط به حجم هوای تنفسی در حالت‌های استراحت و فعالیت شدید انسان است. در این بررسی ذرات مایع روغن دی اکتیل فتالات (DOP) و ذرات جامد کلرور سدیم به ترتیب در گستره‌های  $1/3\mu\text{m}$ - $1/35\mu\text{m}$  و  $0/04\mu\text{m}$ - $0/02\mu\text{m}$  مورد استفاده قرار گرفت. تابع حاصل نشان می‌دهد که در گستره آهنگ شارش <sup>۱</sup> مورد آزمایش، با زیادشدن اندازه ذرات از  $0/035\mu\text{m}$  به  $0/01\mu\text{m}$  کارایی <sup>۲</sup> ماسکها کاهش و در گستره  $1\mu\text{m}$  تا  $10\mu\text{m}$  افزایش می‌یابد. کارایی ماسک‌ها در گستره اندازه ذرات مورد مطالعه با افزایش آهنگ شارش (دبی) بطور قابل ملاحظه‌ای کاهش می‌یابد. محاسبه نشان می‌دهد که عامل کیفیت <sup>۳</sup> ماسک‌ها نسبت به هم بسیار متفاوت است.

حافظت تنفسی کاربرد بسیار وسیعی در صنایع  
دارند و استفاده از آنها در بسیاری از موارد حساس  
صنعتی و اتاق‌های تمیز الزامی است.

نظریه  
روشهای استاندارد متعددی برای آزمودن  
MASKها وجود دارد. در کلیه این روش‌ها  
نفوذپذیری <sup>۴</sup> یا کارایی به دام اندازی ذرات تک

### مقدمه

در بسیاری از صنایع از جمله صنایع هسته‌ای سیمان، چوب، شیشه‌سازی، معدن، داروسازی، بیمارستانها، کارکنان در معرض تنفس ذرات معلق در هوای (هوامیزه‌ها یا آئروسل‌ها) [۱] بویژه ذراتی با ترکیبات شیمیائی مسموم‌کننده، پرتوزا، زیست-هوامیزه‌های خطرناک وغیره می‌باشند. آلاینده‌های مذکور با توجه به خواص فیزیکی و شیمیائی و زیست‌شناسخی شان ممکن است در صورت ورود به دستگاه تنفسی، اثرهای نامطلوبی بر سلامت انسان بر جای گذارند. ماسکهای

۱-Flow rate

۲-Efficiency

۳-Quality factor

۴-Penetration

است با نسبت حاصل ضرب سرعت ورودی جریان به صافی ( $D_f$ ) در قطر یک تار الیافی ( $D_f$ ) به ضرب پخش براونی،  $D_B$

$\eta_{Df}$  تابعی از پارامتر برخورد مستقیم ( $R$ ) است؛

برابر است با نسبت قطر هوآمیز ( $D_p$ ) به قطر تار الیافی،

$\eta_{ii}$  تابعی از عدد استوکس ( $St$ ) است.

$$Pe = \frac{U_0 D_f}{D_B} \quad (3)$$

$$R = \frac{D_p}{D_f} \quad (4)$$

$$St = C \frac{\rho_p U_0 D_f^3}{9\mu_g D_f} \quad (5)$$

در رابطه های فوق،  $C$  و  $\rho_p$  و  $\mu_g$  به ترتیب ضرب تصحیح کانینگ هام<sup>۸</sup>، چگالی ذره و چسبناکی یا لزجت (ویسکوزیته) دینامیکی هوا هستند. در عمل، نفوذپذیری ماسک به میزان نفوذ ذرات در ماسک یعنی نسبت غلظت ذرات پس از عبور از ماسک ( $n_2$ ) به غلظت ذرات پیش از ورود به ماسک ( $n_1$ ) اطلاق می شود [۵]. همچنین نسبت ذرات

توزیعی<sup>۱</sup> و یا چند توزیعی<sup>۲</sup> که به طریقه مصنوعی به دست می آیند، به وسیله ماسک تعیین می شود. ذرات تک توزیعی به ذرات هم اندازه با ترکیب شیمیائی مشابه اطلاق می شود. در عمل به مجموعی از ذرات معلق در هوا تک توزیعی می گویند که انحراف معیار نسبی قطر آنها کمتر از ۰/۲٪ باشد. ذرات معلق در هوا گذرنده از یک صافی الیافی در اثر سازوکارهای پخش<sup>۳</sup>، برخورد مستقیم<sup>۴</sup> و برخورد لختی<sup>۵</sup> روی الیاف صافی گیر می افتد [۳].

نفوذپذیری ( $P$ ) صافی بوسیله رابطه ۱ محاسبه می شود [۴] :

$$P = \exp\left(\frac{-4L(1-\varepsilon)\eta_t}{\pi \varepsilon d_f}\right) \quad (1)$$

که در آن  $L$  و  $d_f$  به ترتیب میزان تخلخل و ضخامت صافی،  $D_f$  و  $\eta_{Df}$  به ترتیب قطر و کارائی کل هر یک از تارهای الیافی تشکیل دهنده صافی می باشند.  $\eta_{ii}$  از جمع سه کارائی گیراندازی ذرات در اثر سازوکارهای:

- پخش،  $\eta_D$ ،

- برخورد مستقیم،  $\eta_{Di}$ ،

- اینرسی  $\eta_{ii}$ ، حاصل می شود (رابطه ۲).

$$\eta_t = \eta_D + \eta_{Di} + \eta_{ii} \quad (2)$$

$\eta_D$  تابعی از عدد پکلت<sup>۶</sup> ( $Pe$ ) است؛  $Pe$  برابر

۱-Monodisperse

۲-Polydisperse

۳-Diffusion

۴-Direct Impact

۵-Inertia Impact

۶-Peclet

۷-Stokes

۸-Cunningham

ذرات تولیدی نشوند؛ همچنین این مرحله برای ثابت نگه داشتن فشار هوای ذره ساز مورد استفاده قرار می‌گیرد. مرحله دوم مولد برای تبدیل مایع داخل مخزن ( محلول نمک طعام یا روغن DOP) به هوامیزه و تولید ذرات چندتوزیعی بکار می‌رود. در مرحله سوم ذرات چندتوزیعی حاصل از مرحله دوم با عبور از لوله‌ای که دمای آن بسته به اندازه ذرات تنظیم می‌شود، دراثر تبخیر و تراکم به ذرات تک توزیعی تبدیل می‌شوند. یک خشی‌گر مدل ۳۰۱۲ از نوع TSI جهت خشی کردن بار الکتریکی ذرات مورد استفاده قرار می‌گیرد. افت فشار ماسک به وسیله یک فشارسنج مدل APM 50K ساخت کارخانه ایرفلو<sup>۱</sup> و یک فشارسنج شیب دار تعیین می‌شود. برای اندازه‌گیری تراکم ذرات در دوطرف ماسک از یک شمارنده هسته تراکم ذرات، مدل ۳۰۲۲A ساخت کارخانه TSI استفاده می‌شود. توپل باد مورد استفاده برای نصب ماسک مشکل از قسمتهای محل نصب ماسک، پروفهای نمونه برداری ذرات و اندازه‌گیری افت فشار و نیز دستگاههای یکنواخت ساز جریان براساس عدد رینولدز<sup>۲</sup> است. این دستگاهها به گونه‌ای طراحی شده‌اند که جریان هوا در توپل لایه‌ای<sup>۳</sup> باشد.

۱-Technical and Scientific Instrumentation

۲-Air Flow

۳-Reynolds number

۴-Laminar flow

بدام افتاده در ماسک به ذرات ورودی به آن را کارایی ماسک می‌نامند. بنابراین رابطه‌های ۶ و ۷ همواره برقرارند:

$$P = n_2/n_1 \quad (6)$$

$$E = 1 - P \quad (7)$$

در رابطه ۷، E کارایی ماسک است.

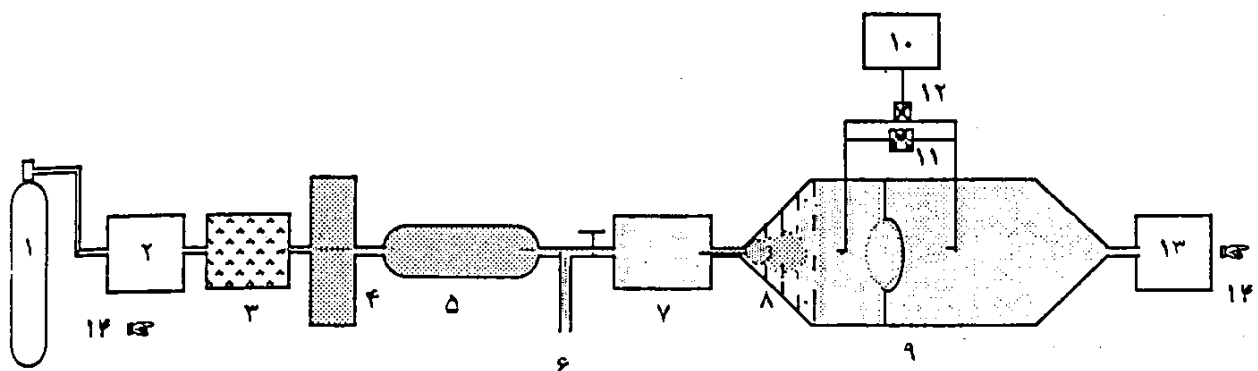
افت فشار در ماسک عامل دیگری است که در برآورد کیفیت ماسکها بکار می‌رود و آن مقدار مقاومتی است که ماسک بر روی سیستم تنفسی فرد اعمال می‌کند [۶]. در حقیقت پارامتر اصلی برای مقایسه ماسکها عامل کیفیت «Qf» آنها است که از رابطه ۸ حساب می‌شود [۷].

$$Qf = \ln(1/P)/\Delta P \quad (8)$$

$\Delta P$  افت فشار در ماسک است.

### روشها و وسایل

ذرات مورد استفاده در این مطالعه عبارتند از ذرات جامد تک توزیعی نمک طعام و ذرات مایع تک توزیعی DOP، که توسط دستگاه مولد هوامیزه سه مرحله‌ای مدل‌های ۳۰۷۶، ۳۰۷۴، ۳۰۷۲ ساخت کارخانه TSI<sup>۱</sup> تولید می‌شوند. در مرحله اول، هوای حاصل از یک کمپرسور یا یک کپسول هوایکه برای تبدیل مایع به هوامیزه بکار می‌رود خشک و پالوده می‌شود تا ذرات یا بخارآب موجود در هوای ورودی موجب تداخل در توزیع اندازه



شکل ۱- طرح ساده دستگاه آزمون ماسک

- ۱- کپسول هوا- ۲- رطوبت‌گیر- ۳- ذره ساز- ۴- تک توزیع کننده- ۵- خشی‌گر بار الکتریکی- ۶- بطرف هود- ۷- دستگاه رقیق‌کننده هوا- ۸- همگن‌ساز- ۹- تونل آزمودن ماسک- ۱۰- شمارنده ذرات- ۱۱- فشارسنج- ۱۲- شیر سه راه- ۱۳- پمپ مکننده هوا- ۱۴- جهت جریان هوا

- تک توزیعی بودن ذرات حاصل از مولد،
- بررسی درجه بندی شارش سنج (فلومتر)

#### یافته ها و نتایج

در این مطالعه، نفوذپذیری، انت فشار و از آنجا عامل کیفیت ۱۲ ماسک برای ذرات با اندازه‌های متفاوت بررسی شده است. آهنگ شارش ( $Q$ ) هوای حامل ذرات مورد آزمایش ۱۵، ۳۰، ۶۰، ۹۰ و ۱۲۰ لیتر در دقیقه بوده که به ترتیب مربوط به آهنگ شارش هوای تنفسی یک فرد در حالت استراحت تا

دستگاه ابتکاری رقیق‌کننده ذرات که در این آزمایشگاه طراحی و ساخته شده است، امکان دسترسی به غلظتها متفاوت را می‌دهد. توزیع آماری ذرات با یک برخوردهنده بهمنشار<sup>۱</sup> هشت مرحله‌ای مدل ۲۷۴۰ نوع اندرسون<sup>۲</sup> مشخص می‌شود و گردش هوا در سیستم توسط یک پمپ مکشی صورت می‌گیرد.

جهت اطمینان از عدم تداخل هوامیزه‌های محیطی در اندازه‌گیری نفوذپذیری و عدم نشت در سیستم، قبل از شروع هر دسته آزمایش، موارد زیر رعایت شده است:

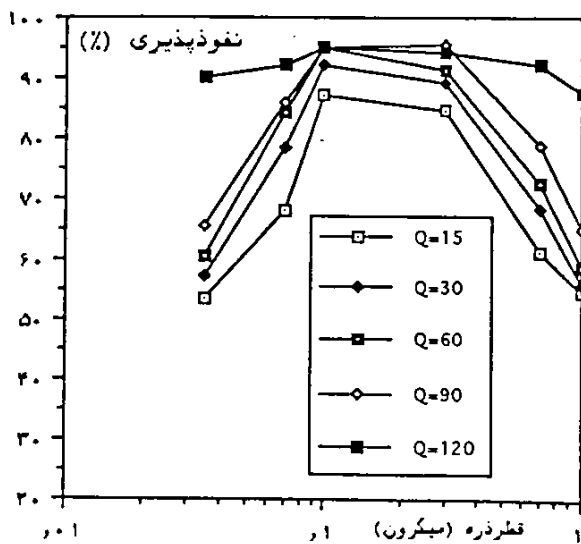
- آزمون عدم وجود هوامیزه‌های محیطی و تداخل آنها با ذرات تک توزیعی حاصل از مولد،

<sup>۱</sup>-Cascade impactor

<sup>۲</sup>-Anderson

بطوریکه ملاحظه می شود اختلاف معنی داری بین این نتایج مشاهده نمی شود.

مطالعات آزمایشگاهی ما نشان می دهند که نفوذپذیری همه این ماسکها برای ذرات ریز کم بوده است و با بزرگتر شدن اندازه آنها، نفوذپذیری به یک حد پیشینه می رسد نتایج حاصل، این حد را در حدود ۱/۰ میکرون مشخص می کند. نفوذپذیری ماسکها برای ذرات بزرگتر از این حد دوباره کاهش می یابد. ما پائین بودن نفوذپذیری ذرات ریز را با توجه به روابط ۱، ۵، به بالا بودن دام اندازی ذرات توسط سازوکار انتشار در این محدوده از قطر ذرات



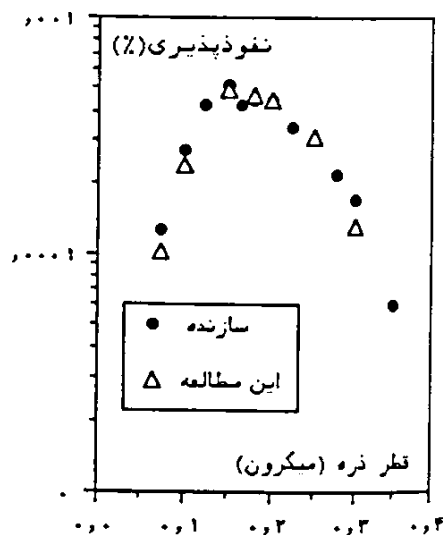
شکل ۳- نفوذپذیری ماسک شماره ۱ بر حسب قطر ذرات برای دبی های مختلف

۱-Absolute filter

۲-Ly dall-Inc

کار سخت می باشد. اندازه ذرات مایع DOP و جامد کلرورسدیم مورد استفاده به ترتیب در گستره  $0.35\mu m$  تا  $0.3\mu m$  و  $0.4\mu m$  تا  $0.2\mu m$  قرار داشت. ذرات در گستره این اندازه ها به راحتی تا عمق ریه نفوذ کرده و سبب بروز انواع بیماریها به ویژه آسم می شوند.

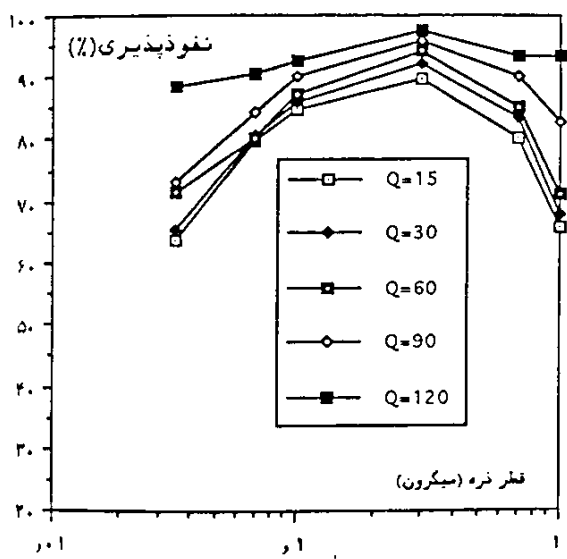
برای اطمینان از درستی کاردستگاه آزمون ماسک و روند اندازه گیری، نفوذپذیری یک صافی مطلق<sup>۱</sup> استاندارد، ساخت کارخانه لیدال<sup>۲</sup>، تعیین و با داده های مربوط به خود صافی نمونه مقایسه شد. در این مطالعه توافق بسیار خوبی بین نتایج بدست آمده و داده های ارائه شده توسط تولیدکننده صافی نمونه نشان داده شده است (شکل ۲).



شکل ۲- مقایسه نفوذپذیری داده های سازنده صافی و نتایج این مطالعه

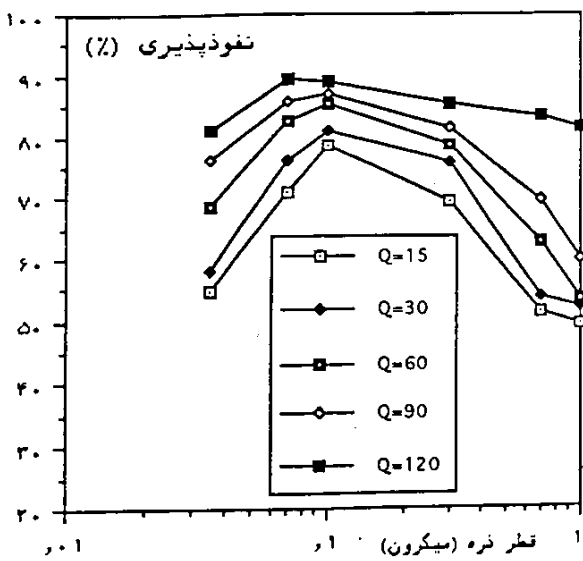
تا ۶ ملاحظه می شود برای ماسکهای شماره ۱ تا ۴ کمینه نفوذپذیری برای آهنگ شارش  $15\text{ min}$  و برای ذرات  $35\mu\text{m} / 0^\circ$  بدست آمده است که مقادیر

نسبت می دهیم و بالا بودن نفوذپذیری برای ذرات در حدود  $1\mu\text{m} / 0^\circ$  را قابل اغماض بودن تمامی سازوکارهای دام اندازی در این محدوده از قطر ذرات می دانیم، همچنین کاهش نفوذپذیری با افزایش قطر ذرات بزرگتر از  $1\mu\text{m} / 0^\circ$  را به چگونگی دام اندازی ذرات توسط سازوکار برخورد مستقیم تعبیر می کنیم.



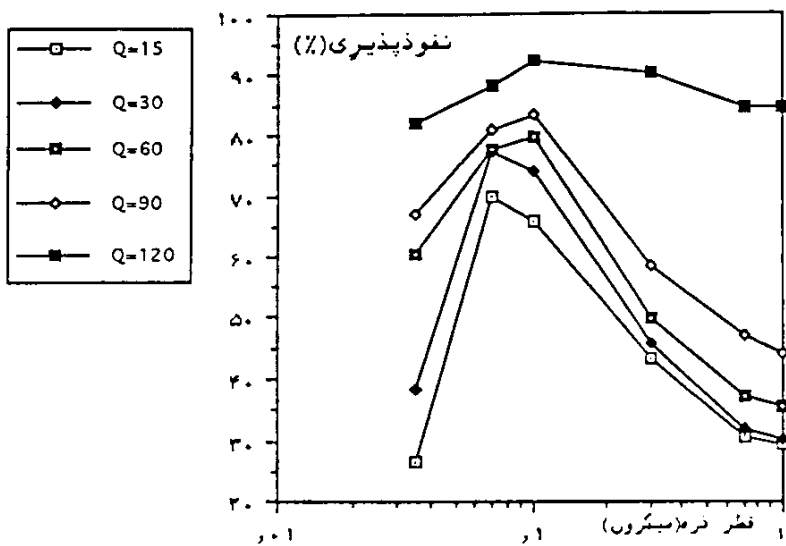
شکل ۵- نفوذپذیری ماسک شماره ۳ بر حسب قطر ذرات برای دبی های مختلف

آنها برای ماسکهای ۱ تا ۴ به ترتیب برابر  $53\%$ ،  $55\%$ ،  $63\%$  و  $25\%$  می باشند. ماکریزم نفوذپذیری تمام این ماسکها برای ذرات به قطر حدود  $1\mu\text{m} / 0^\circ$  و برای بالاترین آهنگ شارش مورد آزمایش یعنی  $120\text{ min}$  تعیین شده است که مقادیر آنها برای ماسکهای شماره ۱ تا ۴ به ترتیب  $94\%$ ،  $90\%$ ،  $92\%$  و  $92\%$  می باشند. بطوریکه ملاحظه می شود ماسک های به ظاهر کاملاً مشابه ممکن است از نظر کیفیت کاملاً متفاوت باشند. برای مثال نفوذپذیری



شکل ۴- نفوذپذیری ماسک شماره ۲ بر حسب قطر ذرات برای دبی های مختلف

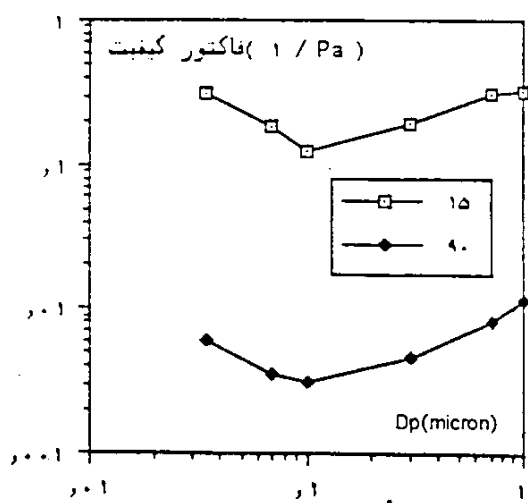
شکلهای ۳ تا ۶ نمودارهای نفوذپذیری ذرات را به ترتیب در گستره قطرهای  $35-1\mu\text{m} / 0^\circ$  و برای آهنگ شارش های  $15-120\text{ min}$  نشان می دهند. بطوری که ملاحظه می شود، حداقل نفوذپذیری در تمام ماسکها برای ریزترین قسمت توزیع اندازه ذرات حاصل شده است. بطوریکه در شکلهای ۳



شکل ۶- نفوذپذیری ماسک شماره ۴ بر حسب قطر ذرات برای دبی های مختلف

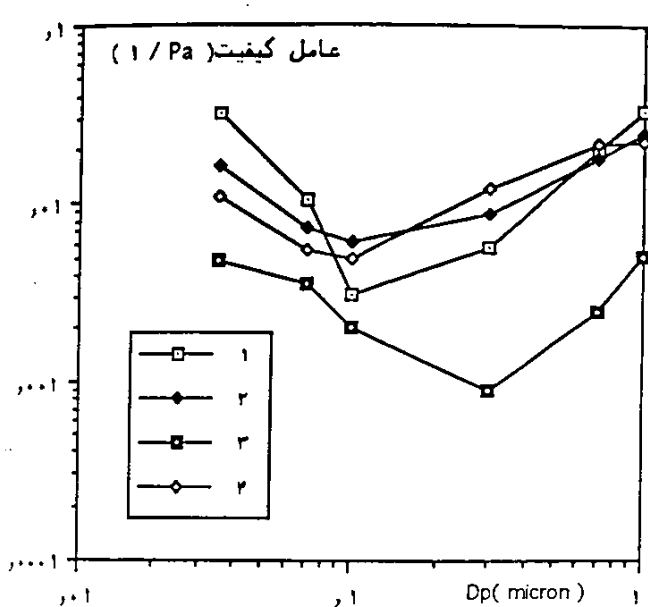
نظرگرفن روابط ۸، ۳ و ۱ قابل توجیه است. در حقیقت در آهنگ های جریان کم، افت فشار و نفوذپذیری ماسکها پایین است. شکل ۷، عامل

ماسک ۴ برای تمام آهنگ های شارش و اندازه ذرات به مراتب کمتر از سایر ماسکها است. نفوذپذیری آن برای آهنگ های شارش پایین تر از ۰.۵٪ در حدود ۰.۶٪ از سایر ماسکها کمتر است. برای آهنگ های شارش بالاتر از ۰.۶٪/min به فعالیت تنفسی شدیدتر فرد مربوط می شود، نفوذپذیری تمام ماسکها خیلی بالا است؛ یعنی در موقع فعالیت شدید، کارایی این ماسکها خیلی پایین است و استفاده از آنها تاثیر زیادی در آلودگی زدایی ندارد.



شکل ۷- عامل کیفیت ماسک ۲، تابع قطر ذرات برای دو دبی ۱۵ و ۹۰ لیتر در دقیقه

قبله" نیز گفته شد که برای مقایسه ماسکها از عامل کیفیت استفاده می شود. مطالعات آزمایشگاهی ما نشان می دهد که عامل کیفیت ماسکها برای آهنگ های شارش کم، بالا بوده و با افزایش آن بشدت کاهش می یابد. این پدیده با



شکل ۸- عامل کیفیت ماسکهای ۱ تا ۴ تابع قطر ذرات  
برای دبی ۰ لیتر در دقیقه

قرار می‌گیرد عامل بسیار مهم در انتخاب نوع ماسک است.

بطوریکه نتایج این مطالعه نشان می‌دهند، بهترین پارامتر برای مقایسه ماسکها عامل کیفیت آنها است. امکان دارد که کارایی دو ماسک برای یک آهنگ شارش و یک قطر ذره مشخص برابر باشد، ولی به دلیل افت فشارهای متفاوت  $Q_f$  آنها خیلی فرق بکند. به عنوان مثال نفوذپذیری ماسکهای ۲ (شکل ۴) و ۳ (شکل ۵) برای ذرات به قطر  $0.35\mu m$  و آهنگ شارش  $15\text{ l}/min$  برابر و در حدود ۷۰٪ می‌باشد. در صورتیکه عامل کیفیت ماسک ۲

کیفیت ماسک شماره ۲، تابع قطر ذرات برای آهنگ‌های شارش ۱۵ و ۹۰ لیتر در دقیقه را نشان می‌دهد. بطوریکه ملاحظه می‌شود، تغییرات عامل کیفیت بر حسب قطر ذرات نسبت به تغییرات آن بر حسب آهنگ شارش هوا گذرنده به مراتب پایین تر است. عامل کیفیت آهنگ شارش  $15\text{ l}/min$  در حدود ۳۵ برابر آهنگ شارش  $90\text{ l}/min$  می‌باشد، یعنی در آهنگ شارش پایین تر فرد به مراتب راحت‌تر تنفس می‌کند و کارایی دام اندازی ذرات توسط ماسک خیلی بالاتر است. در آهنگ شارش بالاتر فشار زیادی بر روی اعضای تنفسی وارد می‌شود و کارایی ماسک هم پایین است.

از طرف دیگر عامل کیفیت انواع ماسکها نیز بسیار متفاوت است. شکل ۸ عامل کیفیت ماسکهای شماره ۱ تا ۴ را برای آهنگ شارش  $15\text{ l}/min$  نشان می‌دهد. چنانکه ملاحظه می‌شود در گستره اندازه ذرات کوچکتر از  $1\mu m$  و بزرگتر از  $3\mu m$  عامل کیفیت ماسک ۱ بالاتر از سایر ماسکها است. در گستره قطر ذرات  $1-0\text{ }/\text{ }3\mu m$  که به گودال کارایی صافیها مربوط می‌شود، عامل کیفیت ماسکها پایین و تغییرات آن شدید است. در این گستره عامل کیفیت ماسکهای ۲ و ۴ بالاتر است. در مجموع ماسکهای مورد مطالعه بر حسب کیفیت به ترتیب ۱، ۲، ۴ و ۳ طبقه بندی می‌شود.

از مطالب فوق نتیجه می‌گیریم که شناخت توزیع اندازه ذرات محیطی که ماسک در آن مورد استفاده

انتشار ذرات خطرناک برای سلامت انسان وجود دارد، استفاده از ماسکها ضروری است. بطوریکه متذکر شدیم، عامل کیفیت ماسکها ممکن است به میزان قابل توجهی متفاوت باشد. لذا این ماسکها را باید متناسب با ویژگیهای فیزیکی، شیمیایی و زیست شناختی ذرات معلق در هوا، مانند توزیع اندازه ذرات، ترکیب شیمیایی و ...، انتخاب کرد. در خاتمه توجه خوانندگان عزیز را به ضرورت استفاده از ماسک و انتخاب صحیح آن با روش‌های علمی مطابق با استانداردهای مربوط، تابع مشخصه‌های فیزیکی، شیمیایی و زیست شناختی ذرات منتشر شده از یک صنعت را جلب می‌کنیم.

(شکل ۸) برای همان آهنگ شارش و قطر ذره تقریباً ۳ برابر ماسک ۳ است.

### نتیجه گیری

در این کار تحقیقاتی، ما ثابت کردیم که ماسکهای به ظاهر مشابه ممکن است از نظر کارایی "کاملاً" متفاوت باشند. نظر به اینکه تنوع ماسکها بسیار زیاد است و هر ماسکی برای کاربرد خاصی تولید می‌شود و بدلیل افزایش سریع و بدون کنترل تولید ماسکهای یک بار مصرف، این کار تحقیقاتی می‌تواند مبنای کنترل کیفیت ماسکها در کشور باشد. در کارخانه‌ها و کارگاه‌های شیمیایی، زیست شناختی، هسته‌ای و غیره که در آنها امکان

### References

- ۱- ا. صدیق‌زاده، آئروسلها در محیط زیست، انرژی هسته‌ای، ۱۶ (پاییز ۷۲)
- ۲- C.N. Davies, *Aerosol Science*, Academic press (1966)
- ۳- ا. صدیق‌زاده، آلودگی ذره‌ای زمینه هوای شهر تهران از سال ۱۹۸۴ تا ۱۹۹۲، فیزیک زمین و فضا ۱ و ۲ (۱۳۷۵)
- ۴- S. Payet and al, Pénétration des aérosols liquides dans les filtres à fibres, 7èmes conférence daérosol (1990).
- ۵- B. Y. H. Liu, *Fine particles*, Academic press (1976).
- ۶- م. ا. عبدالی، ارایه روش تست ماسکهای یکبار مصرف و فیلترهای مصرفی در ماسکها، گزارش پژوهه کارشناسی ارشد دانشگاه علوم پزشکی تهران (۱۳۷۴).
- ۷- T. T. Mercer, "Aerosol technology in hazard evaluation". Academic press (1973).

## THE REVIEW OF HALF-MASKS QUALITY FACTOR FOR STANDARDIZATION

**A. Sadighzadeh and M. Abdoly Armaky**  
**Research Center for Nuclear standard**

### Abstracts

In this work the capture efficiency of aerosols, the pressure drop and quality factor of four types of half-masks are studied. The flow rate is ranged from 15 to 120 l/min, this corresponds to the air volume that one person needs in repose or hard work. The diocyle phtalate (DOP) particle diameter used, is 0, 035-1/3 $\mu$ m. Our experimental study shows that in the range of 0/035 to 0/1 $\mu$ m by increasing the aerosol size the efficiency of aerosol capture through the mask is decreased. The efficiency increases according to the particle diameter when it is more than 0/1 $\mu$ m. We discusse this phenomenon with aerosol filtration theoritical argumentations. The study of airflow on the efficiency variation indicated that the efficiency decreases according to the increase of flow rate. The computation of quality factor proves significant quality difference between two masks that apparently look alike.